# 沃溪金锑钨矿床的地质特征

李键炎

(湖南黄金公司)

沃溪金锑钨矿床赋存于元古界板溪群马底驿组中、上段紫红 色板岩中。划分出逆断层、层间断层、成矿后断层和褶皱等 4 类构造。区内见有层间石英脉、网状石英脉、节理石英脉3类矿体。金主要赋存于黄铁矿和辉锑矿等硫化物中。矿化与褪色化、中细粒黄铁矿化和 硅化有关。认为矿床是沉积一变质热液改造成因,并提出了论据和找矿方向。

关键词: 金锑钨矿床, 矿体类型; 赋存状态, 矿床成因



17 1m A 414 A

沃溪金锑 钨 大 型 矿 床,位于雪峰山弧形隆起 带由北东转向东西方向的

矿区地质概况

转折部位。矿田及其附近无岩浆岩出露。

#### 1. 地层

除上白垩统陆相层状巨厚红色砾岩外, 矿田内主要出露元古界冷家溪群和板溪群一 套巨厚的浅变质海相沉积粘土岩和碎屑岩。

板溪群划分为五强溪组及其下伏的马底 驿组。后者厚1122~1248m,按岩性可划分 3段:下段灰绿色砂质板岩,中段紫红色绢 云母板岩,上段灰绿色薄层状砂质板岩夹紫 红色绢云母板岩。矿体赋存于马底驿组中、 上段红色板岩中,其特点是氧化钙和铁质含 量比一般板岩高。矿区南部冷家溪群板岩中 有沿节理充填的含金石英小脉,但不构成工 业矿床。

#### 2. 构造

本区构造控矿明显。主要构造形迹有压 性逆断层、层间断层和舒缓波状褶皱。

矿床产于古佛山复背斜北翼。围绕"仙

鹅抱蛋"穹状隆起,马底驿组岩层呈反S形展布。矿区处于该反S形构造的西北部,形成向北和北东倾斜的单斜构造(图1)。矿区构造按其规模、性质和发展关系,可分为以下4类:

- (1) 沃溪逆断层 纵贯矿区北部,长 15km,走向近东西,北倾,倾角30°。断层 破碎带厚30~130m,发育于五强溪组与马底驿组之间,呈断层接触。断层具多期活动,属压扭性斜逆断层。其中见金锑钨矿化,是本区的一级断裂构造和主要导矿断裂。
- (2) 层间断层 是在沃溪逆断层作用下形成的二级断裂构造,发育于马底驿组上、中段紫色板岩中。产状与岩层基本一致。已发现6条彼此平行的较大层间断层,走向长650~5300m,倾斜延伸达2500m以上。沿走向呈舒缓波状延展,与舒缓波状褶皱的展布空间基本一致。含矿石英脉矿床充填于断裂中,是本区的主要储矿构造。
- (3) 成矿后断层 系三级断裂,以北东向的斜移正断层最发育,倾向北西,倾角. 30~80°,断距小并常切断矿脉,使 矿 脉形成左列雁行排列。

1

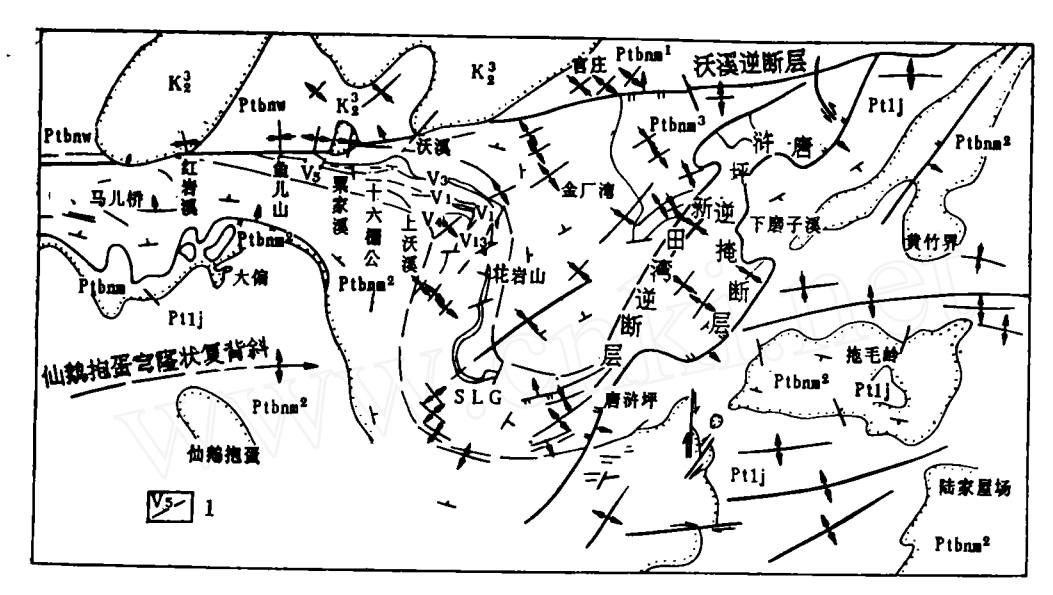


图 1 沃溪金锑钨矿田构造图

K3--白垩系红色砂砾岩,Ptbnw-板溪群五 强溪组,Ptbnm3-板溪群马底驿组上段,Ptbnm3--板溪群 马 底 驿组中段,Ptbnm'-板溪群马底驿组下段,Ptlj-冷家溪群,SLG-灰绿色板岩夹层,1-矿脉及编号

(4) 褶皱 由于矿区南部穹状隆起和 沃溪断层的作用, 以东风井为中心, 地层向 北突起,在突起两翼形成一系列与岩层走向 基本相交的倾伏张开式背向斜,组成一套舒 **缓波状褶**皱。褶皱轴呈放射状排列,向北东 东一北东倾伏。由此而产生的层间剥离空间 与层间断层重叠。背向斜轴部是良好的储矿 部位,控制着板柱状矿体的展布 方 向 与 规 模。

# 矿床地质特征

#### 1. 矿体

矿体按其产出形态分为以下3种类型:

(1) 层间石英脉型 (层间脉) 区的主要矿体类型,约占总储量的70%。层间 脉产于马底驿组中、上部紫红色板岩的层间 剥离裂隙中,与围岩产状基本一致。裂隙两侧 围岩由紫红色褪色蚀变为黄白色。已发现4条 彼此平行的层间脉,脉距30~180m,走向 近东西,倾向北,倾角25~35°。 层间 裂 隙 (蚀变带) 走向长300~5300m, 倾斜延伸 2500m。沿走向呈舒缓波状 展布。石英脉充 填于波状的轴部,形成扁豆状含金石英脉矿 体。扁豆体之间的无矿地段由蚀变带或层间 断层连接。单个矿体 走向长50~500m, 倾 斜延 伸 大于1800m。石英脉厚0.2~3m, 平 均0.85m, Au平均品位9.1g/t,Sb--3.5%, W-0.3%,形成板状矿柱(图2)。矿 柱 长 度小、延深大,倾角稳定(图3)。

(2) 网状石英细脉 (网脉) 约占总 储量的30%。在层间裂隙两侧的羽状裂隙发 育地段,含矿石英细脉充填于侧羽裂隙中, 与蚀变围岩共同构成网脉矿体。通常产于两 个层间裂隙挨近或层间裂隙与节理裂隙相交 所构成的"入"字形构造锐角内侧。网脉矿 体因受主断裂形态控制, 而常 呈 楔 状、 帚 状和扁豆状 (图4)。矿体走向 长20~80m, 倾斜长60~200m, 平均厚度4.5m。网脉以 白钨矿和自然金矿化为主,形成石英一白钨 矿--自然金和石英--自然金两类网脉矿体。 目前尚未发现网脉状锑工业矿体。石英细脉 单脉长0.4~5m, 厚0.2~10cm。含脉率4~ 14%。网脉矿体与层间脉空间关系虽密切, 但其矿化强度并无消长关系,决定因素是裂

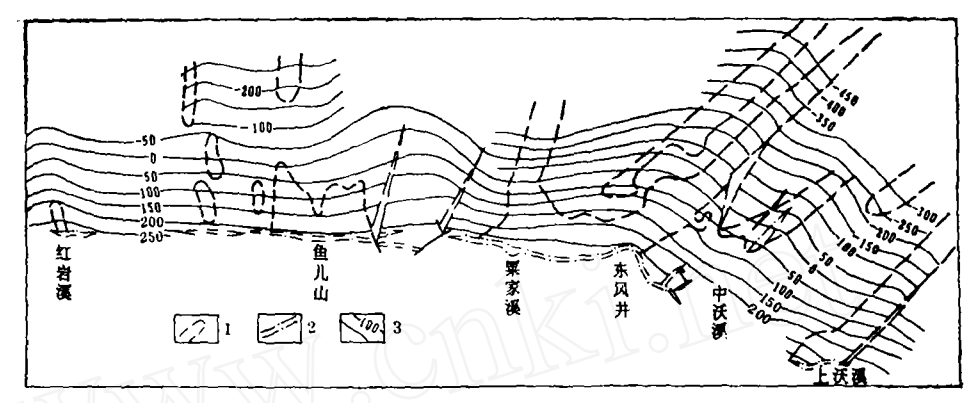


图 2 沃溪矿区V,脉顶板等高线图

1一矿柱范围; 2一蚀变带; 3一等高线

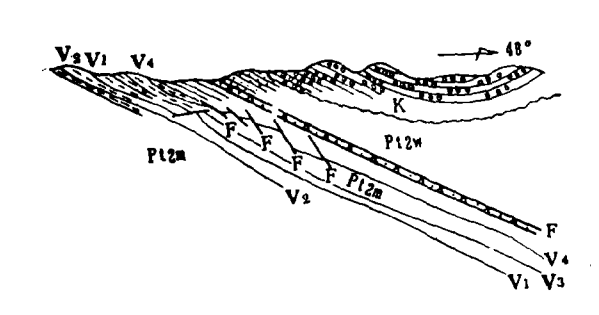


图 3 层间大脉空间分布关系(4号勘探线 剖面)

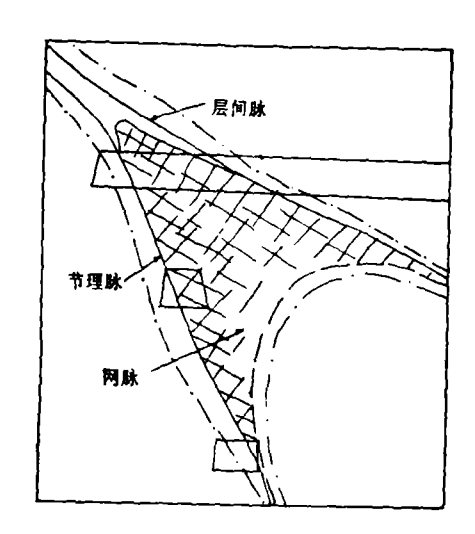
K一白垩系红色砂砾岩, Pt2m-板 溪 群 马底驿 组紫红色板岩, Pt2W-板溪群五强溪组长石石 英砂岩

隙开阔度大,构造条件有利。含脉率高、围 岩含钙高, 蚀变强烈。细粒黄铁矿和组云母 化强烈的地段, 有利于形成网脉矿体。

(3) 节理石英脉型(节理脉) 产于 层间脉两侧的切层节理裂隙中, 脉平直, 走 向长20~50m,倾斜长10~40m,厚0.2~ 1m,倾角40~70°,规模小,品位 富(见图4)。

#### 2. 矿物共生组合和矿石结构构造

(1) 矿物成分 主要金属矿物是自然 金、辉锑矿、白钨矿和黄铁矿, 次要金属矿 物有钨铁矿、毒砂、闪锌矿、方铅矿、黄铜 矿和黝铜矿等, 脉石矿物主要是石英, 另有 方解石、铁白云石、绿泥石、伊利石、叶蜡 石、高岭石、重晶石和石墨等,次生矿物有 褐铁矿、水绿矾、锑华、黄锑华和钨华等。



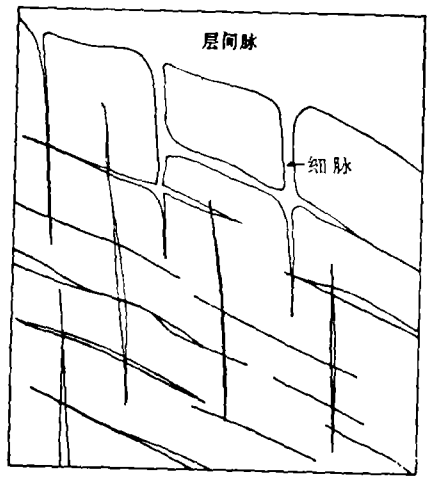


图 4 矿体类型示量图

上图一"人"字形构造及网脉矿体;下图一网脉 矿体中的细脉

- (2) 矿物形成温度 根据中南矿冶学 院爆裂法测温结果, 矿床形成温 度 在317~ 100℃之间,可分为3个阶段: ①石英(317℃) →钨铁矿 (313℃) →白钨矿 (270℃);② 细粒黄铁矿 (225℃) →自然金 (224℃) → 辉锑矿 (197℃); ③方解石 (100℃)。
- (3) 矿物标型特征 具标型特征的主 要是钨铁矿和方解石。

据X射线粉晶分析,本区的黑钨矿属于 钨铁矿 (FeWO,),其化学成分见表 1。由 表可见,沃溪矿区黑钨矿中MnO/FeO值远 小于与浅源岩浆作用有关的钨矿床平均值, FeO含量大于13%,应属中一低温条件下的 产物。

不同温度下形成的方解石具有不同的晶 形。石英晶洞中广泛发育的方 解 石 菱 面体 **{4041}** 和六方柱 **{1010}** 聚形晶体, 其形 成温度为100~150℃,属低温热液产物。

		** * * * * * *		
黑蛇矿的	化学放	<del>分</del> (%)	表 1	

地	点	wo,	FeO	MnO	MnO/ FeO			
沃溪	矿区东部		18.465 21.69	1.84~ 1.92 1.88	0.0108			
江西与浅 用有关 均值	原岩浆作 钨矿床平	74.33	12.11	11.75	0.89			

(4) 矿石结构构造 矿石粒度细一中 等, 自形一他形粒状结构和交代残余结构, 另有受后期应力作用形成的花岗变晶结构和 压碎结构等。

常见矿石构造为条带状、角砾状、浸染 **状和细脉状等**。

- (5) 成矿阶段和矿物生成顺序(表2)
- 3. 元素组合、品位变 化 特 征 及金的 赋存状态
- (1) 金、锑、钨品位变化特征 金矿 化稳定,含矿系数高,品位变化系数小,是 本区矿化的一个显著特点。钨和锑的变化则

较大。

(2) 矿石元素组合 相关分析和因子 分析结果表明, Au-S的相关系数为0.79, Au-Sb为0.42, Au-Pb为0.399, WO3-CaO为0.53。与主元素有关的公因子有3个: F, (WO, 、CaO) 白钨矿成矿因子, F2(Au、Sb、FeO、MgO、Mn、CaO) 金 锑成矿因子,  $F_3$  ( $Z_n$ 、 $P_b$ 、 $A_u$ ) 硫化物成 矿因子。其中, F1反映早期成矿作用是在相 对氧化条件下钨、钙结合生成白钨矿。 $F_2$ 反 映围岩对成矿的控制与变质热液 作 用 的 特

沃温金锑钨矿床成矿阶段及生成顺序

麦 2

	中一				
矿物	石英一白	石英一硫 化物一自	石英一碳	表生期	
	钨矿阶段	然金阶段	酸盐阶段		
石 英					
钨铁矿					
白钨矿					
<b>基砂</b>	•				
黄铁矿					
黄铜矿					
自然金					
闪锌矿					
方铅矿	1				
動铜矿					
辉锑矿			Í		
重晶石	Ì				
绸云母		l ——			
绿泥石			ļ		
叶蜡石					
伊利石	İ				
石 墨		·		}	
方解石					
玉 🏙		1	<del></del>	Ì	
文 石	1		<del></del>		
白云石		1		1	
褐铁矿					
钨 华		ĺ			
锑华					
锑赭石		Į.			
针铁矿	1				
水绿矾		1			

点,即在相对还原条件下,围岩中的Fe<sup>2+</sup>与 金、锑络合物溶液发生反应, 形成自然金与 黄铁矿共生组合。F。则反映金锑成矿后期有 闪锌矿和方铅矿生成。

(3) 金的赋存状态 本区自然金的成 色为986.1‰,不含银,有两种赋存形式: 一种 是 粒 径 大 于 $0.5\mu m$  的 可 见 金(占 53.7%), 主要赋存于石英、黄铁矿、辉锑 矿中,少数赋存于白钨矿、闪 锌 矿 和 毒砂 中,另一种为粒径小于0.5<sup>μm</sup>的次显微金 (占46.28%), 主要呈小圆球状赋存于各种 硫化物的微裂隙及解理中或呈离子状态吸附 于粘土矿物(伊利石)边缘(表3)。

可见金的光片测定结果表明,其粒度在 闪锌矿中最小,其次是黄铁矿、石英和白钨 矿, 辉锑矿中的粒度最大。不可见金经电子 显微镜测定, 其 粒 度 在0.05~0.3µm范 围 内。

单矿物中可见金与次显微金百分含量 表 3

矿物	可见金 (%)	次显微金(%)		
黄铁矿	22.64	19.77		
辉锑矿	23.67	20.40		
白钨矿	2.62	2.25		
石 英	0.46	0.39		
伊利石	3.16	2.73		
绿泥石	0.59	0.50		
叶蜡石	0.12	0.11		
方解石	0.16	0.13		

可见金在矿物中的赋存状 态 有 以 下几 种:

- ①充填于石英的晶隙间,呈环状、星散 状或细脉状、树枝状产出。
- ②沿黄铁矿细脉的一侧进行交代,呈交 代残余结构, 或沿黄铁矿裂隙充填, 呈细脉 状、树枝状, 也有的沉淀在黄铁矿晶面上, 呈球粒状、环带状产出。
- ③辉锑矿沿金的周边交代,或自然金细 脉被辉锑矿交代或被辉锑矿细脉穿插。

张振儒对本区黄铁矿、辉锑矿和伊利石

中的次显微金进行了电子显微镜研究, 查明 其赋存状态有以下几种:

- ①次显微金在黄铁矿中呈独立自然金产 出, 粒径小于0.14m, 呈小圆球状或链状沉 淀在黄铁矿晶面上, 具同心环带构造。
- ②次显微金在辉锑矿中呈小圆球状及链 状显微包裹体产出或被辉锑矿的 (010)解理 所切割。说明辉锑矿晚干自然金形成。
- ③自然金呈极小的圆球状或粒状集合体 被吸附在伊利石破碎晶体边缘。

综上所述,本区自然金主要赋存在黄铁 矿和辉锑矿等硫化物中,约占88%,少量赋存 于石英、白钨矿和伊利石中,约占11.6%。可 见金约占53.72%, 次显微金约占46.28%。 次显金是造成尾矿金品位高的主要原因。金 矿化主要与石英一硫化物阶段有关。细粒黄 铁矿是主要含金矿物和金的指示矿物。

### 围岩蚀变

#### 1. 褪色化

与金锑钨矿化关系密切,发育于层脉两 侧,厚0,2~10m。热液作用使紫红色围岩 蚀 变为黄白色。据硅酸盐全分析,阳离子带进 数,  $Fe^{2+}$ 为12~19,  $K^{+}5$ ~37,  $Ca^{2+}3$ ~13; 带出Na+2~19, Fe3+6~21。S平均含量由 0.1237增至0.72%。主要由组云母(50%)、 他形粒状石英(30%)和方解石(5%)等 组成, 呈花岗鳞片结构、板状结构。

#### 2. 中细粒黄铁矿化

与矿化关系密切。黄铁矿结晶不完整, 粒径小于0.5mm,呈细脉状、条带状、浸染 状产出。单矿物含金92.6~151g/t。叠加于 褪色化板岩中, 与绢云母化、碳酸盐化相伴 产出。

#### 3. 硅化

早期硅化与白钨矿化关系密切。硅化围 岩含硅比一般板岩高8~14%, 主要 成 分是 他形粒状石英,叠加于褪色化板岩之上,与 绢云母化和碳酸盐化相伴产出。

#### 4. 伊利石化

与金矿化有一定关系。常伴随组云母化、 叶蜡石化出现, 颜色灰白或黄绿, 呈 鳞 片 状,石蜡光泽,遇水有粘性。

#### 5. 绿泥石化

颜色深绿,块状,大量出现时预示矿化 减弱或矿脉尖灭。

上述蚀变常叠加出现,分带不明显。其 中褪色化是良好的找矿标志。褪色化、中细 粒黄铁矿化、硅化、伊利石化同时出现,往 往指示厚富层间脉或网脉体的出现, 大量绿 泥石化则预示矿化减弱或尖灭。石英脉两侧 围岩无湿色化,则标志石英脉不含矿。

### 矿床成因

笔者认为, 沃溪金锑钨矿床属于沉积一 变质热液改造矿床。主要依据如下:

### 1. 成矿物质主要来源于板溪群马底溪 组及其邻近地层

元古代地层中的矿化元素丰度值均高于 地壳丰度值 (表4), 表明成矿物质与围岩密 切相关。

矿田范围内赋矿层位硫的平均含量高达 1237ppm, 其同位素组成与马底驿组灰绿色 板岩中变质成因的硫化物硫 同 位 素 组成相 近, 说明矿石中的硫主要来自赋矿层位。同 时,钨铁矿中铌、钽含量其微,铁、锰比值 小,完全不同于与岩浆作用有关钨矿床的黑 钨矿, 显然是矿质来源不同所致。

### 2. 矿床特征反映了沉积作用与变质作 用是主要成矿作用

矿床产于冷家溪群马底驿组中、上段绢 云母紫红色板岩中。矿脉产状与围岩一致,并 严格受地层岩性控制。板溪群地层中成矿元

区域元古代地层的元素丰度值(ppm)

麦 4

	地	展	样品段	Au	Sb	w	Cu	Bi	Ве	Sn	Мо	s
	冷	<b>永溪群</b>	52	0.005	12.4	6.6	132.6	2.6	3.4	7.4	<0.5	154
板運料	•	马底驿组 五强溪组	39 15	0.006	25.6 35.1	9.7	180.7	4.3	3.9	10.0	<0.5 <0.5	99.9 96.8
地	売丰品	<b>尼</b> 值(泰勒,	1964)	0.004	0.2	1.5	55	0.17	2.8	2.0	1.5 × 104	260

素丰度普遍较高,马底驿组和五强溪组底部 金趋于富集(刘英俊, 1983)。说明 在 沉积 成岩过程中,成矿物质初步富集,形成了矿 源层。

元素组合、矿石结构构造和围岩蚀变反 映了多阶段中一低温变质热液成矿特征。包 裹体测试查明近似压 力为138~255atm, 主 要矿物的形成温度为100~317℃,属中一低 温、低压环镜。含矿石英的显微 构造 和组 构,与冷家溪群、板溪群变质砂岩中的变质 组构相类似,说明区域变质对矿床的形成有 重要作用。石英、白钨矿、黑钨矿和裂隙水

的δ<sup>18</sup>O值,表明成矿流体是以变质水为主的 混合热液。

#### 3. 成矿机理

张振儒根据本区区域地质发展史和矿床 特征,将成矿过程分为以下3个阶段:

(1) 沉积阶段 冷家溪群形成后,发 生了强烈的武陵运动(距今约1400Ma)。本区 处于地槽阶段由陆棚海到大陆斜坡的过渡环 境, 沉积了一套含钙泥质岩和碎屑岩的过渡 类型沉积(马底驿组),来自陆源剥蚀区、 海水和古火山喷发的成矿元素Au、Sb、S和 W等随之沉积,形成矿源层。

6

- (2)活化阶段 距今1050Ma前,发生了长时间、强烈的雪峰运动,导致了广泛的区域变质作用,沉积岩中的空隙水和矿物中的结构水、结晶水大量析出,并伴随大量SiO<sub>2</sub>释离及成矿元素和矿化剂进入流体,形成热液。岩石中的硫等矿化剂也可以ST、S<sup>2</sup>等形式进入热液,并淋取围岩中的Au、Sb等金属元素。金还可能是被SiO<sub>2</sub>结合的微粒悬浮物或胶体,或者以有机化合物形式进入热液。钨则与SiO<sub>2</sub>结合,形成杂多酸Si(W<sub>3</sub>O<sub>12</sub>)<sup>1</sup>进入溶液。
- (3) 迁移沉淀阶段 随着区域变质作作用的进行和发展,热液不断增多,并活化吸取围岩中的成矿物质。在重力和局部应力作用下,热液沿裂隙或孔隙向低压区流动,汇聚成较大规模的热流。热液进入层间剥离构造后,由于物理化学条件的改变,或是与围岩中的钙、铁、碳等物质相遇,络合物分解,成矿物质分阶段沉淀。

第一阶段:氧逸度较大,温度降至 $239\sim275$ °、热液吸取围岩中的F $\epsilon$ 和Ca,生成钨铁矿和白钨矿:

[Si(W<sub>3</sub>O<sub>12</sub>)<sub>4</sub>]<sup>4-</sup>+4H<sup>+</sup>+12FeO =12FeWO<sub>4</sub>+SiO<sub>2</sub>+2H<sub>2</sub>O [Si(W<sub>3</sub>O<sub>12</sub>)<sub>4</sub>]<sup>4-</sup>+4H<sup>+</sup>+12CaO =12FeWO<sub>4</sub>+SiO<sub>2</sub>+2H<sub>2</sub>O 说明钨矿化与硅化关系密切。

第二阶段: 氧逸度降低、硫逸度增高, 温度179~228℃, 热液从围岩吸取Fc: 2Na[Au(HS)₂]+FeO = 2Au+FeS<sub>2</sub>+H<sub>2</sub>O+2NaHS 致使金矿化与黄铁矿化关系密切。

第三阶段:氧逸度继续增高,温度160~ 172 ℃:

NaHSb<sub>2</sub>S<sub>4</sub>=Sb<sub>2</sub>S<sub>3</sub>+NaHS Sb(OH)<sub>3</sub>+3HS=Sb<sub>2</sub>S<sub>3</sub>+3H<sub>2</sub>O 从而使其后的剩余溶液显弱碱性。

本阶段硫逸度很高,对前阶段沉淀的金 有很强的溶解能力,使金再度进入溶液并沉 淀结晶。

第四阶段:温度降至118~160℃,热液中起保护剂和搬运剂作用的HCO; 或HCO,浓度增大,热液吸取围岩中的Ca,形成碳酸盐矿物:

## 找矿方向

- 1. 加强矿 田 反S形 构 造 南东段的 找 矿, 特别是唐浒坪逆掩断层西侧马底驿组地 层, 具有与沃溪矿区相似的有利层位和构造 条件, 且唐浒一带地表已发现含矿异常。
- 2. 根据沃溪矿区板柱状矿体沿走向作 等距离分布和由西向东共埋深变小的规律, 今后应注意不等距空白地段和东翼深部盲矿 体的找矿。

#### Geological Features of the Woxi Au-Sb-W Ore Deposit

Li Jianyan

The Woxi Au-Sb-W ore deposit is present in slate, purplish red in colour, located at the medium and upper members of the Madiyi Formation of the Proterozoic Banxi Group. Four kinds of structures are recegnized: reverse fault, interformational falt, post mineral fault and fold. In the mining area ore bodies occur as interbeded quartz vein, network quartz vein or joint quartz vein. Gold is mainly found in pyrite and antimonite. Mineralizations bear a relationship with decolourization, the medium to fine grained pyritization and silicilication. It is believed that the ore deposit is polygenetic, being of sedimento-metamorphic and hydrothermal-reformation origins. Grounds for explaining the origions of the deposit and exploration guide are also put forward in this paper.